

基于 PPCA-EWT 的滚动轴承轻微故障诊断^{*}

胡爱军, 南冰, 任永辉

(华北电力大学能源动力与机械工程学院 保定, 071003)

摘要 针对经验小波变换(empirical wavelet transform, 简称 EWT)在强背景噪声下对轴承的轻微故障特征提取不足的问题, 提出了概率主成分分析(probabilistic principal component analysis, 简称 PPCA)结合 EWT 的滚动轴承轻微故障诊断方法。首先, 对信号做 PPCA 预处理, 提取信号主要故障特征成分, 去除强背景噪声干扰; 然后, 采用 EWT 方法分解轴承故障信号, 按相关系数-峭度准则选出故障特征较为明显的分量, 并将所选分量重构故障信号; 最后, 对信号采取包络分析, 提取出轴承故障特征。仿真和实验结果表明, 该方法能够有效地诊断出轴承故障且效果优于对信号进行 EWT 包络分析。

关键词 滚动轴承; 经验小波变换; 概率主成分分析; 故障诊断

中图分类号 TH165.3; TN911.7

引言

轴承故障信号通常具有非平稳和非线性的特点^[1-2]。轴承的不同部位发生故障时会呈现出不同的特征频率, 因此对轴承进行故障特征频率分析是实现故障诊断的基本手段。短时傅里叶变换(short-time Fourier transform, 简称 STFT)、Wigner-Ville 分布、小波变换、经验模态分解(empirical mode decomposition, 简称 EMD)等是目前常用的时频分析方法, 但都有各自的局限性。STFT 的时间与频率分辨率相互制约; Wigner-Ville 分布交叉干扰项严重; 小波变换基函数和阈值的选择受到人为因素的影响, 不具有自适应性; 作为一种具有多分辨率、自适应性的信号处理方法, EMD 已经被证明可以有效地处理非平稳、非线性的信号, 然而 EMD 方法仍然具有模态混叠、过包络、欠包络和端点效应等缺点^[3-4]。Gilles^[5]在 2013 年提出了经验小波变换(empirical wavelet transform, 简称 EWT), 其原理是自适应分割信号的频谱, 并利用小波滤波器对分割后的频谱滤波, 最终获得一组单分量信号。该方法计算量小, 与 EMD 方法相比, 可以有效地减弱模态混叠现象, 端点效应也能得到一定程度的抑制^[6-7]。但是对于轴承轻微故障, 由于背景噪声容易淹没轻微的冲击成分, 导致信号的信噪比

较低, EWT 提取效果欠佳, 因此选择一种有效的降噪方法来抑制强背景噪声, 增强故障特征十分必要。概率主成分分析(probabilistic principal component analysis, 简称 PPCA), 通过先将原始数据投影到其他的坐标空间, 后投影的方式来提取信号的主特征分量。PPCA 的本质是将方差最大的方向作为主要特征, 并且在各个正交方向上将数据“离相关”, 也就是让它们在不同正交方向上没有相关性。因此 PPCA 不仅可以去除噪声, 还能增强对原始信号特征信息的保留, 现已应用于特征提取与模态识别等领域。陆超等^[8]用 PPCA 方法监测回转支承的健康状态, 取得了较为理想的效果。Xiang 等^[9]结合 PPCA 与快速峭度图, 较好地诊断出了轴承故障。

针对轴承轻微故障特征难以提取的问题, 提出了 PPCA-EWT 相结合的方法。

1 基本理论

1.1 EWT 基本原理

在 EWT 方法中, 规定 $[0, \pi]$ 为规范化的信号频谱的频率取值范围。假定信号由 N 个单分量成分构成, 将 $[0, \pi]$ 的频谱分割成 N 个连续的区间, 那么就需要确定 $N+1$ 条边界线, 其中 0 和 π 分别为第一条和最后一条边界线, 另外需要再确定 $N-1$ 条

* 国家自然科学基金资助项目(51475164, 51675178)

收稿日期: 2016-05-26; 修回日期: 2016-08-15

边界线。过 ω_n 作相邻 2 个区间的分界线, 每一段可表示为 $\Lambda_n = [\omega_{n-1}, \omega_n], n = 1, 2, \dots, N(\omega_0=0, \omega_N=\pi)$, 其中, ω_n 为 2 个连续的极大值的中点, 由此可知 $\bigcup_{n=1}^N \Lambda_n = [0, \pi]$ 。

确定割区间 Λ_n 后, 对其加小波窗, 按照 Meyer 小波的构造方法, 可得经验尺度函数如式(1)所示, 式(2)为经验小波函数。

$$\hat{\varphi}_n(\omega) = \begin{cases} 0 & |\omega| \leqslant (1-\gamma)\omega_n \\ \cos\left[\frac{\pi}{2}\beta\left(\frac{1}{2\gamma\omega_n}(|\omega| - (1-\gamma)\omega_n)\right)\right] & (1-\gamma)\omega_n \leqslant |\omega| \leqslant (1+\gamma)\omega_n \\ 1 & \text{其他} \end{cases} \quad (1)$$

$$\hat{\psi}_n(\omega) = \begin{cases} 1 & (1+\gamma)\omega_n \leqslant |\omega| \leqslant (1-\gamma)\omega_{n+1} \\ \cos\left[\frac{\pi}{2}\beta\left(\frac{1}{2\gamma\omega_{n+1}}(|\omega| - (1-\gamma)\omega_{n+1})\right)\right] & (1-\gamma)\omega_{n+1} \leqslant |\omega| \leqslant (1+\gamma)\omega_{n+1} \\ \sin\left[\frac{\pi}{2}\beta\left(\frac{1}{2\gamma\omega_n}(|\omega| - (1-\gamma)\omega_n)\right)\right] & (1-\gamma)\omega_n \leqslant |\omega| \leqslant (1+\gamma)\omega_n \\ 0 & \text{其他} \end{cases} \quad (2)$$

其中: $\gamma < \min_n \left[\frac{\omega_{n+1} - \omega_n}{\omega_{n+1} + \omega_n} \right]; \beta(x) = x^4(35 - 84x + 70x^2 - 20x^3)$ 。

按照经典小波变换的构造方法构造经验小波变换, 经验小波函数与原信号内积可得细节系数如式(3)所示, 尺度函数与信号内积可得近似系数如式(4)所示

$$w_f^e(n, t) = [f, \psi_n] = \int f(\tau) \overline{\psi(\tau - t)} d\tau = (\hat{f}(\omega) \overline{\hat{\psi}_n(\omega)}) \quad (3)$$

$$w_f^e(0, t) = [f, \varphi_1] = \int f(\tau) \overline{\varphi_1(\tau - t)} d\tau = (\hat{f}(\omega) \overline{\hat{\varphi}_1(\omega)}) \quad (4)$$

信号重构的结果如式(5)所示

$$f(t) = w_f^e(0, t) * \varphi_1(t) + \sum_{n=1}^N w_f^e(n, t) * \psi_n(t) = (\hat{w}_f^e(0, \omega) \hat{\varphi}_1(\omega) + \sum_{n=1}^N \hat{w}_f^e(n, \omega) \hat{\psi}_n(\omega)) \quad (5)$$

经验模态函数 f_k 定义如下

$$f_0(t) = w_f^e(0, t) \varphi_1(t) \quad (6)$$

$$f_k(t) = w_f^e(k, t) \psi_k(t) \quad (7)$$

1.2 PPCA 基本原理和方法

PPCA 作为一种信号分析方法, 首先建立一个

恰当的概率模型, 然后基于这个模型重新生成一个新的样本数据, 最后信号主成分可以通过正交投影的方法获得。PPCA 通过将方差最大的方向作为主要特征, 并且在各个正交方向上将数据“离相关”。因此 PPCA 不仅可以去除噪声, 还能增强对原始信号特征信息的保留。

PPCA 模型首先假设 n 维观测变量数据 X 满足如下模型关系^[10-11]

$$X = P \cdot u + E \quad (8)$$

其中: $X = \{x_1, x_2, \dots, x_m\} \in \mathbf{R}^{n \times m}$ 为观测变量; $P = \{p_1, p_2, \dots, p_k\} \in \mathbf{R}^{n \times k}$ 为其参数矩阵; $u = \{u_1, u_2, \dots, u_m\} \in \mathbf{R}^{k \times m}$ 为隐变量; E 为高斯噪声, 且 $u \sim N(0, I), E \sim N(0, \sigma^2 I)$ (I 为单位矩阵)。

由式(8)得, X 服从以下高斯分布

$$X \sim (0, P P^T + \sigma^2 I) \quad (9)$$

u 的先验分布为

$$p(u) = (2\pi)^{-k/2} e^{-\frac{1}{2\sigma^2} \mathbf{C}^T \mathbf{C}} \quad (10)$$

观测数据 X 在隐变量 u 条件下的先验概率分布如下

$$p(X | u) = (2\pi)^{-n/2} e^{-\frac{1}{2\sigma^2} \| X - P \cdot u \|^2} \quad (11)$$

根据式(10)和(11)可得观测数据 X 的概率分布为

$$p(X) = \int p(X | u) p(u) dx = (2\pi)^{-n/2} \cdot |\mathbf{C}|^{-1/2} e^{-\frac{1}{2} \mathbf{C}^T \mathbf{C}^{-1} \mathbf{C}} \quad (12)$$

其中: $\mathbf{C} = P P^T + \sigma^2 I$ 是两个参数 P 与 σ^2 共同确定的协方差矩阵。

按照 EM 算法估计上述模型的 P 和 σ^2 , 迭代公式如下

$$P = S P (\sigma^2 I + M^{-1} P^T S P)^{-1} \quad (13)$$

$$\sigma^2 = \frac{1}{n} \text{tr}(S - S P M^{-1} P^T) \quad (14)$$

其中: S 为观测数据的协方差矩阵; $M = P^T P + \sigma^2 I$ 。

通过多次迭代计算出两个参数 P 与 σ^2 , P 与 σ^2 获得后就可建立 PPCA 模型得到各主成分数据, 通常规定各主成分的累积方差贡献率不低于 85%。

针对 EWT 在强背景噪声环境下对轴承的轻微信号特征提取能力不足的问题, 提出基于 PPCA-EWT 的滚动轴承轻微故障诊断方法, 其实现过程如图(1)所示。首先, 对信号做 PPCA 预处理, 提取信号主要故障特征成分, 去除强背景噪声干扰; 其次, 采用 EWT 方法分解轴承故障信号, 按相关系数-峭度准则选出故障特征较为明显的分量, 并将所选分量重构故障信号。信号中冲击成分的比重影响

着峭度指标的大小,信号所包含的冲击成分越多,峭度值越大,因此将信号的峭度指标作为选择分量的第一准则^[12];各分量与原信号之间的关联程度影响着相关系数指标的大小,通常认为,分量与原信号的相关性越大,相关系数越大,因此将信号的相关系数指标作为选择分量的另一准则。最后对信号采取包络分析,提取出轴承故障特征。

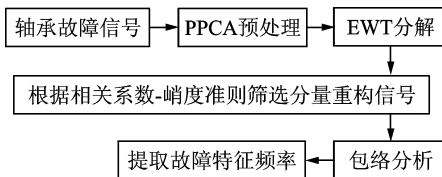


图1 故障特征提取流程图

Fig. 1 Flow chart of extracting fault feature

2 仿真及实测信号分析

2.1 仿真信号分析

采用文献[13]中的滚动轴承内圈故障模型进行分析,数学模型如式(15)所示

$$\begin{cases} x(t) = s(t) + n(t) = \sum_i A_i h(t - iT - \tau_i) + n(t) \\ A_i = A_0 \cos(2\pi f_r t + \varphi_A) + C_A \\ h(t) = \exp(-Bt) \cos(2\pi f_n t + \varphi_n) \end{cases} \quad (15)$$

其中: τ_i 为第*i*次冲击相对于平均周期*T*的微小波动; A_i 为以 $1/f_r$ 为周期的幅值调制; $h(t)$ 为指数衰减脉冲; B 为系统的衰减系数; $A_0 = 2$, $C_A = 0$; $f_r = 20$ Hz为轴承所在工作轴的转频; $f_i = 130$ Hz为内圈故障通过频率; $f_n = 3$ kHz为系统固有频率; $n(t)$ 为信噪比-12 dB的高斯白噪声。

设置采样频率为 $f_s = 8192$ Hz,取8192点数据分析。

图2为内圈故障仿真信号的时域波形,图3为直接对加噪轴承内圈故障仿真信号做包络谱的分析结果。由图3看出,包络谱中没有较为明显的谱峰峰值,无法准确提取出转频与轴承内圈故障频率。采取EWT分解故障信号结果如图4所示,共6个分量。表1为各分量的相关系数与峭度值,选择相关系数较大的6分量和峭度值较大的1分量重构信号。

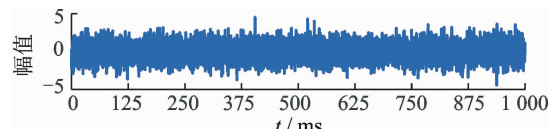


图2 内圈故障仿真信号时域波形

Fig. 2 Time domain waveform of inner ring fault simulation signal

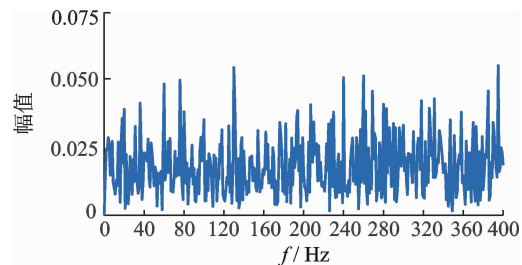


图3 内圈故障仿真信号包络谱

Fig. 3 The envelope spectrum of the inner ring fault simulation signal

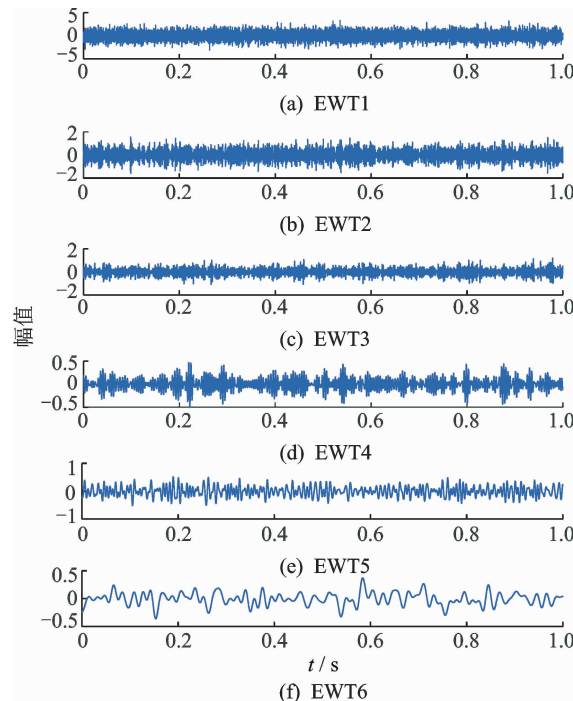


图4 内圈故障仿真信号EWT结果

Fig. 4 EWT result of inner ring fault simulation signal

表1 仿真信号EWT分解各分量相关系数与峭度值

Tab. 1 The correlation coefficient and kurtosis value of each component of simulation signal using EWT

分量	1	2	3	4	5	6
相关系数	0.11	0.18	0.15	0.32	0.45	0.83
峭度值	3.68	2.73	3.34	3.03	2.98	3.05

图5、图6为重构信号时域波形和包络谱图,由图5可见,重构后信号的冲击特征并不明显。图7包络谱虽然可以提取到轴承转频(20 Hz)和轴承内圈故障频率(130 Hz),但其谱线的峰值并不明显,且无法提取到其调制边带和倍频成分。由此说明EWT在强背景噪声下对轴承的轻微故障特征提取不足。

采用PPCA-EWT方法对故障信号进行分析。对故障信号进行概率主成分分析结果如图7所示,

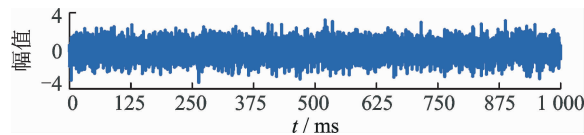


图 5 EWT 分量重构仿真信号时域波形

Fig. 5 Time domain waveform of the simulation signal reconstructed by the component of EWT

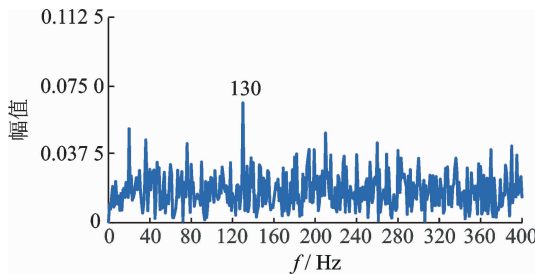


图 6 EWT 分量重构仿真信号包络谱

Fig. 6 The envelope spectrum of the simulation signal reconstructed by the component of EWT

对 PPCA 处理后的信号进行 EWT 分解后得到的 6 个分量如图 8 所示。

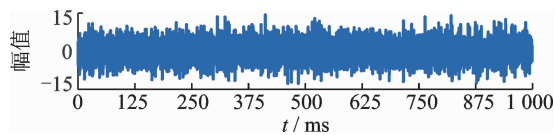


图 7 PPCA 处理后仿真信号时域波形

Fig. 7 Time domain waveform of the simulation signal using PPCA

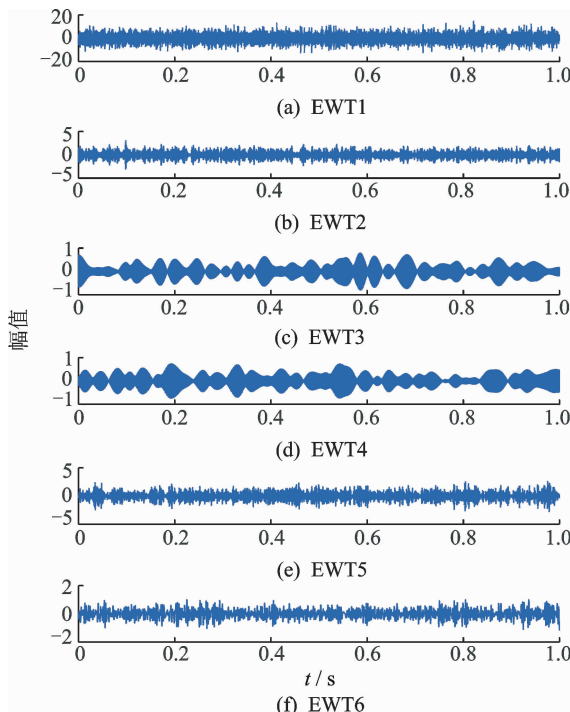


图 8 仿真信号 PPCA-EWT 结果

Fig. 8 PPCA-EWT result of simulation signal

表 2 为各分量的相关系数与峭度值,选择相关系数较大的 6 分量和峭度值较大的 2 分量重构信号的时域波形如图 9 所示。采用 PPCA-EWT 方法所得包络谱见图 10,从图 10 中可以看出,该方法准确地提取到了轴的转频(20 Hz)、内圈故障频率及其他倍频成分(130,260,390 Hz)以及以故障频率为中心的边频带(110,240,280 Hz),有效地抑制了背景噪声的干扰。

表 2 各分量相关系数与峭度值

Tab. 2 The correlation coefficient and kurtosis value of each component

分量	1	2	3	4	5	6
相关系数	0.09	0.19	0.08	0.08	0.19	0.95
峭度值	2.97	3.12	2.73	3.01	3.04	3.12

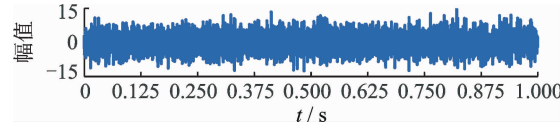


图 9 各分量重构仿真信号时域波形

Fig. 9 Time domain waveform of the simulation signal reconstructed by each component

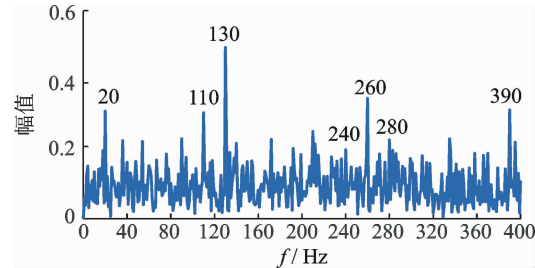


图 10 仿真信号 PPCA-EWT 包络谱

Fig. 10 The envelope spectrum of the simulation signal by PPCA-EWT

2.2 实测信号分析

为了进一步验证该方法对轴承轻微故障诊断的有效性,采用美国 Case Western Reserve 大学的滚动轴承实验数据,轴承型号 JEMSKF6023-2RS^[14]。故障源是滚动体表面通过电火花加工的直径分别为 0.177 8,0.355 6,0.533 4 mm 的凹坑。选用最轻微的 0.177 8 mm 故障数据进行分析,采样频率为 12 kHz,轴的转速为 1 772 r/min。轴承参数如表 3 所示,表 4 为轴承各个故障特征频率。

表 3 滚动轴承参数

Tab. 3 Parameters of rolling bearing

内径/mm	外径/mm	滚珠直径/mm	节圆直径/mm	滚动体数	接触角/(°)
17	40	6.7	28.5	8	0

表4 滚动轴承故障特征频率

Tab. 4 Fault feature frequency of rolling bearing

故障种类	外圈	内圈	滚动体	保持架
故障特征频率/Hz	90	149	118	11

取8 192点数据进行分析,图11为轴承故障信号的时域波形,直接对轴承信号做包络分析,结果如图12所示。包络谱中仅能提取到轴承转频29.3 Hz以及接近转频二倍频频率成分59.3 Hz,无法找到与滚动体故障特征频率118 Hz相对应的值,因此对于轻微故障,包络分析效果欠佳。对信号EWT分解得到6个分量,计算各分量的相关系数与峭度值,按相关系数-峭度准选择符合条件的分量重构信号。篇幅所限,仅给出重构后信号时域波形(图13)以及重构信号的包络谱(图14)。

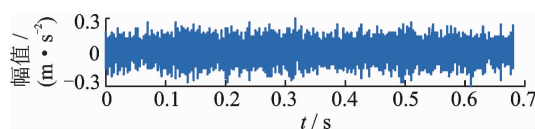


图11 轴承故障信号时域波形

Fig. 11 Time domain waveform of bearing fault signal

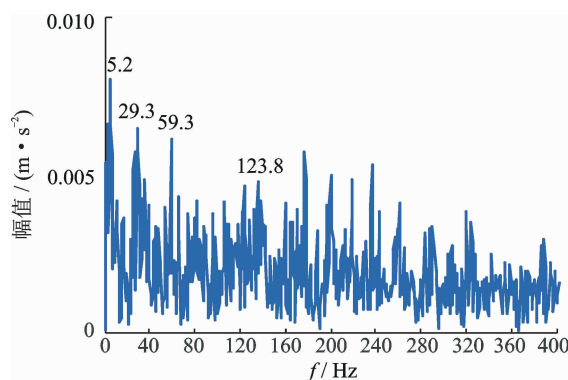


图12 轴承故障信号包络谱

Fig. 12 The envelope spectrum of the bearing fault signal

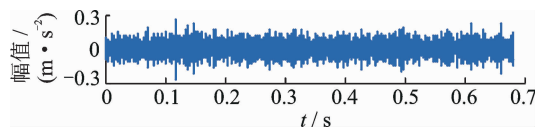


图13 EWT各分量重构信号时域波形

Fig. 13 Time domain waveform of the signal reconstructed by the component of EWT

从图14可以看出,包络谱中仅能找到135.5 Hz频率成分,不能与轴承转频和滚动体故障频率相对应,因此不能够提取出轴承转频与滚动体故障特征频率信息。由此说明,EWT对淹没在强背景噪声下的轻微故障特征提取能力不足。采用PPCA-EWT方法对故障信号进行分析。对故障信号进行

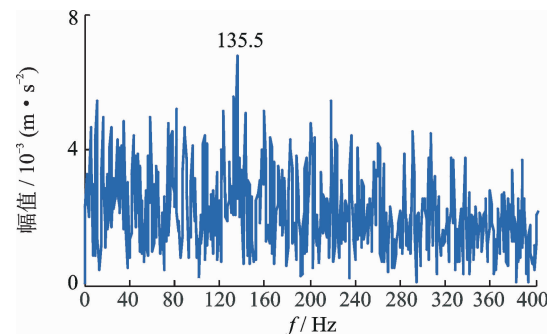


图14 EWT分量重构信号包络谱

Fig. 14 The envelope spectrum of the signal reconstructed by the component of EWT

PPCA处理结果如图15所示,然后作EWT分解,计算出各分量的相关系数与峭度值,按相关系数-峭度准则选择符合条件的分量重构信号。重构信号时域波形如图16所示,所得包络谱见图17。

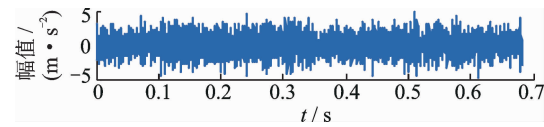


图15 PPCA处理后信号时域波形

Fig. 15 Time domain waveform of the signal using PPCA

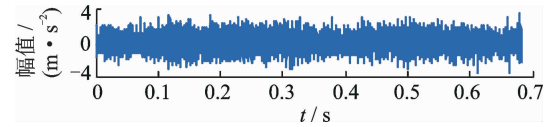


图16 各分量重构信号时域波形

Fig. 16 Time domain waveform of the signal reconstructed by each component

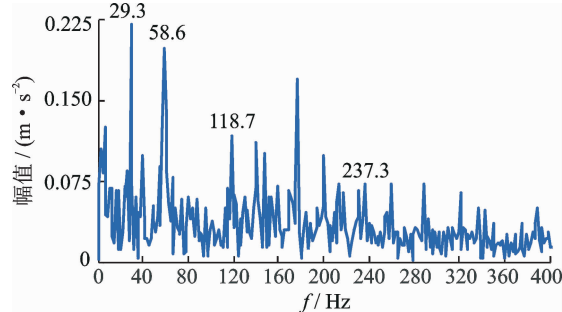


图17 PPCA-EWT所得信号包络谱

Fig. 17 The envelope spectrum of the signal by PPCA-EWT

由图17可见,包络谱中可以找到较为清楚的29.3, 58.6, 118.7, 237.3 Hz频率成分。其中29.3, 58.6 Hz分别对应轴承转频及倍频,118.7, 237.3 Hz与滚动体故障频率、二倍频成分非常接近,说明轴承的滚动体存在故障。相比较图12、图14, PPCA-EWT方法能有效抑制信号中的强背景噪声,实现对轴承轻微故障特征的提取。

3 结束语

EWT 通过自适应的分割信号的频谱，并利用小波滤波器对分割后的频谱滤波，最终获得一组单分量信号，有效地减弱了模态混叠效应，且端点效应也得到一定的抑制，能够较好地提取故障特征频率，但是对于强背景噪声下的轴承轻微故障提取不足。对信号做 PPCA 处理不仅能够去除噪声，还能增强对原始信号特征信息的保留。基于此，采用 PPCA-EWT 方法来提取轴承轻微故障特征，将两种方法相结合，通过仿真和对国外文献实验数据的分析验证了所提出 PPCA-EWT 方法的有效性。

参 考 文 献

- [1] 赵志宏, 杨绍普. 基于小波包变换与样本熵的滚动轴承故障诊断[J]. 振动、测试与诊断, 2012, 32(4):640-644.
Zhao Zhihong, Yang Shaopu. Roller bearing fault diagnosis based on wavelet packet transform and sample entropy[J]. Journal of Vibration, Measurement & Diagnosis, 2012, 32(4):640-644. (in Chinese)
- [2] 胡爱军, 孙敬敬, 向玲. 经验模态分解中的模态混叠问题[J]. 振动、测试与诊断, 2011, 31(4):429-434.
Hu Aijun, Sun Jingjing, Xiang Ling. Mode mixing in empirical mode decomposition[J]. Journal of Vibration, Measurement & Diagnosis, 2011, 31(4):429-434. (in Chinese)
- [3] 王学敏, 黄方林. EMD 端点效应抑制的一种实用方法[J]. 振动、测试与诊断, 2012, 32(3):493-497.
Wang Xuemin, Huang Fanglin. Practical method to restrain the end effect of EMD[J]. Journal of Vibration, Measurement & Diagnosis, 2012, 32(3):493-497. (in Chinese)
- [4] 裴焱, 吴亚峰, 杨永峰, 等. Volterra 模型预测在 EMD 端点延拓中的应用[J]. 振动、测试与诊断, 2010, 30(1):70-74.
Qiu Yan, Wu Yafeng, Yang Yongfeng, et al. Application of Volterra model prediction to end extension of empirical mode decomposition[J]. Journal of Vibration, Measurement & Diagnosis, 2010, 30(1):70-74. (in Chinese)
- [5] Gilles J. Empirical Wavelet Transform [J]. IEEE Transactions on Signal Processing, 2013, 61(16):3999-4010.
- [6] 向玲, 李媛媛. 经验小波变换在旋转机械故障诊断中的应用[J]. 动力工程学报, 2015, 35(12):975-981.
Xiang Ling, Li Yuanyuan. Application of empirical wavelet transform in fault diagnosis of rotary mechanisms[J]. Journal of Chinese Society of Power Engineering, 2015, 35(12):975-981. (in Chinese)
- [7] 李志农, 朱明, 褚福磊, 等. 基于经验小波变换的机械故障诊断方法研究[J]. 仪器仪表学报, 2014, 35(11):2423-2432.
Li Zhinong, Zhu Ming, Chu Fulei, et al. Mechanical fault diagnosis method based on empirical wavelet transform[J]. Chinese Journal of Scientific Instrument, 2014, 35(11):2423-2432. (in Chinese)
- [8] 陆超, 陈捷, 洪荣晶. 采用概率主成分分析的回转支承寿命状态识别[J]. 西安交通大学学报, 2015, 49(10):90-96.
Lu Chao, Chen Jie, Hong Rongjing. Recognition of life state for slewing bearings using probabilistic component analysis[J]. Journal of Xi'an Jiaotong University, 2015, 49(10):90-96. (in Chinese)
- [9] Xiang Jiawei, Zhong Yongteng, Gao Haifeng. Rolling element bearing fault detection using PPCA and spectral kurtosis[J]. Measurement, 2015, 75:180-191.
- [10] Bellas A, Bouveyron C, Cottrell M, et al. Model-based clustering of high-dimensional data streams with online mixture of probabilistic PCA[J]. Advances in Data Analysis & Classification, 2013, 7(3):281-300.
- [11] Zuccolotto P. Principal component analysis with interval imputed missing values[J]. Asta Advances in Statistical Analysis, 2012, 96(1):1-23.
- [12] 林旭泽, 王新军, 蔡艳平, 等. 基于 AEEMD 和峭度-相关系数联合准则的轴承故障诊断[J]. 轴承, 2015(8):55-58.
Lin Xuze, Wang Xinjun, Cai Yanping, et al. Fault diagnosis for bearings based on AEEMD and kurtosis-correlation coefficients joint criterion [J]. Bearing, 2015(8):55-58. (in Chinese)
- [13] 王宏超, 陈进, 董广明. 基于最小熵解卷积与稀疏分解的滚动轴承微弱故障特征提取[J]. 机械工程学报, 2013, 49(1):88-94.
Wang Hongchao, Chen Jin, Dong Guangming. Fault diagnosis method for rolling bearing's weak fault based on minimum entropy deconvolution and sparse decomposition[J]. Journal of Mechanical Engineering, 2013, 49(1):88-94. (in Chinese)
- [14] 唐贵基, 王晓龙. 最大相关峭度解卷积结合 1.5 维谱的滚动轴承早期故障特征提取方法[J]. 振动与冲击, 2015, 34(12):79-84.
Tang Guiji, Wang Xiaolong. Feature extraction for rolling bearing incipient fault based on maximum correlated kurtosis deconvolution and 1.5 dimension spectrum[J]. Journal of Vibration and Shock, 2015, 34(12):79-84. (in Chinese)



第一作者简介:胡爱军,男,1971年1月出生,博士,副教授。主要研究方向为机械设备状态监测与故障诊断。曾发表《基于集成经验模态分解和峭度准则的滚动轴承故障特征提取方法》(《中国电机工程学报》2012年第32卷第11期)等论文。

E-mail: bdlaohu@126.com